

**Inwestor:**

Fermy Drobiu EPE Sp. z o.o. sp. k.  
25-323 Kielce  
Al. Solidarności 34


**Lokalizacja przedsięwzięcia:**

Nr dz. ew.: 841  
Miejscowość: Strzelce  
Gmina: Oleśnica  
Powiat: staszowski  
Województwo: świętokrzyskie

**Nazwa przedsięwzięcia:**

**„Ferma drobiu Strzelce”**

**Uzupełnienie nr 3 raportu o oddziaływaniu na  
środowisko**

	KIK ECO LAB Przemysław Kruk ul. Urzędnicza 13 lok. 1005, 25-729 Kielce www.kikecolab.pl tel. 602 505 094 e-mail: <a href="mailto:biuro@kikecolab.pl">biuro@kikecolab.pl</a>
<b>Autorzy opracowania</b>	<b>Podpis kierownika zespołu</b>
mgr Przemysław Kruk (kierownik zespołu)	
mgr Natalia Błaszczuk	
lic. Paula Stankowska	
lic. Karolina Kruk	
lic. Magdalena Anioł	

**Kielce, luty 2020 r.**

Niniejsze uzupełnienie stanowi odpowiedź na pismo Regionalnego Dyrektora Ochrony Środowiska w Kielcach z dnia 29 stycznia 2020 r. (znak: WOO-II.4221.11.2019.MK.2). W związku z ww. pismem przedstawiamy wyjaśnienia w następującym zakresie:

1.

a) Z uwagi na brak wykonany wierceń oraz z uwagi na fakt, iż zgodnie z ogólnie dostępną dokumentacją teren inwestycji znajduje się w obrębie obszaru bez Głównego Użytkowego Piętra Wodonośnego nie jest możliwe określenie na tym etapie zasięgu leja depresji. Zasięg leja depresji nie będzie zasięgiem oddziaływania zgodnie z art. 74 ust. 3a ustawy z dnia 3 października 2008r. o udostępnianiu informacji o środowisku i jego ochronie, udziale społeczeństwa w ochronie środowiska oraz ocenach oddziaływania na środowisko (tj. Dz. U. 2018, poz. 2801), zgodnie z którym obszarem, na które oddziałuje przedsięwzięcie są działki:

- **przylegające bezpośrednio do działek, na których ma być realizowane przedsięwzięcie;**
- na których w wyniku realizacji lub funkcjonowania przedsięwzięcia zostałyby przekroczone standardy jakości środowiska;
- działki znajdujące się w zasięgu znaczącego oddziaływania przedsięwzięcia, które może wprowadzić ograniczenia w zagospodarowaniu nieruchomości, zgodnie z jej aktualnym przeznaczeniem.

Ponieważ wody ujmowane będą w obszarze bez Głównego Użytkowego Piętra Wodonośnego z lokalnie występującej warstwy wodonośnej co została udokumentowane w badaniach przedstawionych w załączniku nr 2 do raportu, ujęcie wody nie wpłynie na przekroczenie standardów środowiska oraz nie w prowadzi ograniczeń w zagospodarowaniu nieruchomości znajdujących się w zasięgu leja depresji, zgodnie z jej aktualnym przeznaczeniem. Biorąc pod uwagę powyższe zasięg leja depresji nie jest równoznaczny z zasięgiem oddziaływania przedsięwzięcia.

b) W miejscu planowanego ujęcia wodnego wody zlokalizowane są na głębokości około 60 m do 68 m p.p.t. Głębokość zalegania wód oraz występowanie w części terenu inwestycji łąk gwarantuje bezpieczne korzystanie z ujęcia wód bez wpływu na grzyby, rośliny oraz siedliska przyrodnicze, w tym siedliska zależne od wód. Rośliny, grzyby oraz siedliska przyrodnicze korzystają z wód zlokalizowanych w obrębie pierwszego poziomu wodonośnego, który na terenie inwestycji nie jest na tyle wydajny by mógł być on wykorzystany do ujmowania

wody. Poziom ten występuje płytko i związany jest z występującymi w obrębie inwestycji pisakami.

c) w zasięgu obszaru znajdującego się na terenie pozbawionym Głównego Użytkowego Piętra Wodonośnego nie występują ujęcia wodne. Przedmiotowe ujęcie wodne będzie ujmowało wody z lokalnie występującej warstwy wodonośnej, która jak obrazują przedstawione badania znajduje się w całości lub większości na terenie przedsięwzięcia, stąd w ocenie autora raportu ujęcia gospodarskie nie mogą ujmować wód z tej samej warstwy wodonośnej. Ponadto aby przedmiotowe przedsięwzięcie mogło oddziaływać na inne ujęcia z uwagi na występującą warstwę nieprzepuszczalną występującą nad poziomem wodonośnym, ujęcia te musiałyby być ujęciami głębinowymi na które wymagane jest uzyskanie pozwolenia wodnoprawnego – ujęć takich niema w okolicy planowanego przedsięwzięcia.

d) ponieważ wody będą ujmowane w obszarze bez Głównego Użytkowego Piętra Wodonośnego pobór wód nie będzie miał zupełnie wpływu na cele środowiskowe określone w „Planie gospodarowania wodami na obszarze dorzecza Wisły”. Jeżeli chodzi o odprowadzanie nadmiaru wód opadowych do rowu melioracyjnego będą to niewielkie ilości niemające wpływu na rów i cele środowiskowe określone dla JCWP, ponieważ inwestor zdecydował się na ograniczenie ilości odprowadzanych wód opadowych do rowu poprzez wykorzystanie ich do mycia kurnika oraz podlewanie zieleni. Kurniki będą myte jedynie wodą opadową z wyłączeniem sytuacji gdy wód tych nie wystarczy. W takiej sytuacji będzie wykorzystywana również woda z ujęcia.

2. Obliczenia emisji pyłu do powietrza z urządzeń wentylacyjnych planowanych budynków inwentarskich prowadzono z wykorzystaniem wskaźnika dla frakcji do 10  $\mu\text{m}$ . Wskaźnik pyłu PM 10 zaczerpnięto z tabeli nr 3.2.8.4-1. Przykładowe możliwe do zastosowania wskaźniki emisyjne pyłu z budynków inwentarskich na terenach wielkoprzemysłowych ferm drobiu z publikacji „Wytyczne dotyczące praktycznego zastosowania Konkluzji BAT w zakresie intensywnego chowu drobiu i świń: część I Instalacje do chowu drobiu” opracowanych przez Ministerstwo Środowiska (sierpień 2017 r.). W analizowanym przypadku posłużono się najwyższym wskaźnikiem dla pyłu PM10 z przedziału 0,004 – 0,025 kg/stanowisko/rok dla brojlera kurzego, którego źródło danych stanowi Dokument Referencyjny BAT z 2017 roku. Niestety to samo źródło, nie podaje wskaźnika dla frakcji pyłu do 2,5  $\mu\text{m}$ , dlatego w obliczeniach założono udział frakcji PM2,5 jako 100 %. Analizując udziały frakcji pyłu z innych źródeł, można uznać, że powyższa praktyka zawyżała znacząco wynik pyłu PM2,5. Zgodnie z ww. tabelą, wskaźnik emisji pyłu PM10 dla brojlera kurzego wynosi 0,0037 kg/szt./rok, natomiast pyłu PM2,5 –

0,0008 kg/szt/rok, którego źródło danych stanowi Instytut Ochrony Środowiska w Warszawie, Krajowe Centrum Inwentaryzacji Emisji. W związku z powyższym udział frakcji pyłu PM<sub>2,5</sub> można określić jako nieprzekraczający 22 %, a nie jak założono w przedłożonej analizie – 100 %. W związku z powyższym, przeprowadzono zaktualizowane modelowanie rozprzestrzeniania się zanieczyszczeń w zakresie emisji pyłu, uwzględniając w analizie jedynie emitory, które stanowią jego źródło. Parametry emitorów, czas ich pracy pozostały bez zmian względem przedkładanych wcześniej analiz. W tabeli na następnej stronie przedstawiono emisje pyłu z emitorów przyjętych do obliczeń.

**Tabela 1. Zestawienie maksymalnej emisji godzinowej pyłu w poszczególnych okresach.**

Symbol	Nazwa emitora	Substancja	Emisja maks. godz. kg/h				Emisja roczna Mg
			1 okres 5000 h	2 okres 2192 h	3 okres 200 h	4 okres 1368 h	
AG-P	Agregat prądowórczy	pył ogółem	0,0668	0,0668	0,0668	0,0668	0,00334
		- w tym pył do 2,5 µm	0,0626	0,0626	0,0626	0,0626	0,003132
		- w tym pył do 10 µm	0,0642	0,0642	0,0642	0,0642	0,00321
E-1 -> E-12	Komin kotła gazowego	pył ogółem	0,0047	-	-	-	0,0235
		- w tym pył do 2,5 µm	0,0047	-	-	-	0,0235
		- w tym pył do 10 µm	0,0047	-	-	-	0,0235
K1->K12-WD- 1-18	Wentylator dachowy kurnika nr 1	pył ogółem	0,01113	0,01113	0,00513	-	0,0811
		- w tym pył do 2,5 µm	0,002449	0,002449	0,001129	-	0,01784
		- w tym pył do 10 µm	0,01113	0,01113	0,00513	-	0,0811
POJ-1	Pojazdy ciężarowe obsługujące K1 - K4	pył ogółem	0,000972	0,000972	0,000972	0,000972	0,001458
		- w tym pył do 2,5 µm	0,000899	0,000899	0,000899	0,000899	0,001349
		- w tym pył do 10 µm	0,000933	0,000933	0,000933	0,000933	0,0014
K1-> K12 -WSZ-1-8	Wentylator szczytowy kurnika nr 1	pył ogółem	-	-	0,0135	-	0,0027
		- w tym pył do 2,5 µm	-	-	0,00297	-	0,000594
		- w tym pył do 10 µm	-	-	0,0135	-	0,0027
POJ-2	Pojazdy ciężarowe obsługujące K5 - K12	pył ogółem	0,00379	0,00379	0,00379	0,00379	0,00626
		- w tym pył do 2,5 µm	0,00351	0,00351	0,00351	0,00351	0,00579
		- w tym pył do 10 µm	0,00364	0,00364	0,00364	0,00364	0,00601
Zs-1	Zasyp silosu - emitör zastępczy	pył ogółem	0,00086	0,00086	0,00086	0,00086	0,000433
		- w tym pył do 2,5 µm	0,00086	0,00086	0,00086	0,00086	0,000433
		- w tym pył do 10 µm	0,00086	0,00086	0,00086	0,00086	0,000433
Zs-2	Zasyp silosu - emitör zastępczy	pył ogółem	0,00086	0,00086	0,00086	0,00086	0,000605
		- w tym pył do 2,5 µm	0,00086	0,00086	0,00086	0,00086	0,000605
		- w tym pył do 10 µm	0,00086	0,00086	0,00086	0,00086	0,000605

Zmianie względem poprzedniej wersji obliczeń uległ jedynie udział frakcji pyłu PM<sub>2,5</sub> z urządzeń wentylacyjnych wszystkich planowanych budynków inwentarskich.

## Obliczenia dotyczące oddziaływania w zakresie emisji pyłu do powietrza planowanej fermy

W celu oceny skali oddziaływania inwestycji na powietrze atmosferyczne za pomocą programu OPERAT FB dla Windows przeprowadzono obliczenia oraz modelowanie poziomów substancji w powietrzu. Modelowanie zostało przeprowadzone zgodnie z rozporządzeniem Ministra Środowiska z dnia 26 stycznia 2010 r. w sprawie wartości odniesienia dla niektórych substancji w powietrzu (Dz. U. 2010 Nr 16 poz. 87) oraz zgodnie z metodą CALINE 3. W obliczeniach uwzględniono skład frakcyjny pyłu zgodnie z danymi CEIDARS dostępnymi w programie Operat FB. W obliczeniach uwzględniono szorstkość terenu obliczoną w programie Operat FB metodą GIS tzn. na mapie zaznaczano powierzchnie o danej szorstkości terenu, a następnie na tej podstawie wyliczono średnią dla całego terenu. Zasięg terenu przeznaczanego do obliczeń szorstkości przyjęto zgodnie z rozporządzeniem Ministra Środowiska z dnia 26 stycznia 2010 r. w sprawie wartości odniesienia dla niektórych substancji w powietrzu (Dz. U. Nr 16 poz. 87).

### **50\*hmax = 450 m emitor: E-1 Komin kotła gazowego**

Poniższa tabela obrazuje zestawienie sklasyfikowanych stref metodą GIS w programie OPERAT FB.

Tabela 2. Zestawienie aerodynamicznej szorstkości terenu [OPERAT FB].

L.p.	Opis strefy	Powierzchnia, m <sup>2</sup>	Aerodynamiczna szorstkość terenu, m
1	lasy	52 985	2
2	sady, zarośla, zagajniki	4 531	0,4
3	poła uprawne	578 657	0,035
	Suma/Średnia	636 173	<b>0,2013</b>

Obliczona szorstkość terenu wyniosła 0,2013 dla całego roku.

Po przeprowadzeniu obliczeń w zakresie skróconym wykazano konieczność przeprowadzenia pełnego zakresu obliczeń dla pyłu.

W odległości równej dziesięciokrotności wysokości od pojedynczego emitora lub któregoś z emitorów w zespole, od tego emitora nie znajdują się wyższe niż parterowe

budynki mieszkalne lub biurowe, a także budynki żłobków, przedszkoli, szkół, szpitali lub sanatoriów. Zatem, nie ma konieczności prowadzenia dodatkowych obliczeń stężeń na różnych wysokościach elewacji.

Dodatkowo przeprowadzono obliczenia stężeń na granicach inwestycji. Stężenia maksymalne na granicach Zakładów stanowią część załączonych wydruków z programu OPERAT FB. Wyniki stężeń na granicach Zakładów nie wykazały przekroczeń. W trakcie obliczeń stwierdzono konieczność ewentualnego uwzględnienia obszarów ochrony uzdrowskiej w odległości 2073 m. W/w obszarów nie ma w takiej odległości, stąd do analizy nie przyjęto zaokrąglonych wartości odniesienia.

W obliczeniach wykorzystano dane meteorologiczne dla najbliższej położonej stacji meteorologicznej zlokalizowanej w Kielcach. W związku z rozróżnieniem okresów do obliczeń wykorzystano trzy róże wiatrów dla wspomnianej stacji – grzewczą, letnią oraz roczną.

W załączniku nr 1 przedstawiono tło zanieczyszczeń na podstawie, którego prowadzono wcześniejszą analizę opisaną w raporcie oraz wydruki z programu Operat FB wraz z danymi wejściowymi do programu. Ponadto na płycie CD/DVD zamieszczono tabelaryczne wydruki z programu OPERAT FB.

### **Wyniki modelowania**

#### **Zestawienie maksymalnych wartości stężeń pyłu PM-10 w sieci receptorów poza terenem zakładu**

Najwyższa wartość stężeń jednogodzinnych pyłu PM-10 występuje w punkcie o współrzędnych  $X = 1340$   $Y = 1100$  m i wynosi  $306,4 \mu\text{g}/\text{m}^3$ . Najwyższa częstość przekroczeń dla stężeń jednogodzinnych występuje w punkcie o współrzędnych  $X = 1340$   $Y = 1100$  m, wynosi 0,01 % i nie przekracza dopuszczalnej 0,2 %. Najwyższa wartość stężeń średniorocznych występuje w punkcie o współrzędnych  $X = 1600$   $Y = 1020$  m, wynosi  $3,055 \mu\text{g}/\text{m}^3$  i nie przekracza wartości dyspozycyjnej  $(D_a-R) = 12 \mu\text{g}/\text{m}^3$ .



### Zestawienie maksymalnych wartości stężeń na granicy zakładu

Najwyższa wartość stężeń jednogodzinnych pyłu PM-10 występuje w punkcie o współrzędnych  $X = 1339,2$   $Y = 1098,6$  m i wynosi  $308,7 \mu\text{g}/\text{m}^3$ . Najwyższa częstość przekroczeń dla stężeń jednogodzinnych występuje w punkcie o współrzędnych  $X = 1339,2$   $Y = 1098,6$  m, wynosi 0,01 % i nie przekracza dopuszczalnej 0,2 %. Najwyższa wartość stężeń średniorocznych występuje w punkcie o współrzędnych  $X = 1601,4$   $Y = 1018$  m, wynosi  $3,062 \mu\text{g}/\text{m}^3$  i nie przekracza wartości dyspozycyjnej ( $D_a\text{-R}$ ) =  $12 \mu\text{g}/\text{m}^3$ .

### Zestawienie maksymalnych wartości stężeń pyłu zawieszonego PM 2,5 w sieci receptorów poza terenem zakładu

Najwyższa wartość stężeń jednogodzinnych pyłu zawieszonego PM 2,5 występuje w punkcie o współrzędnych  $X = 1340$   $Y = 1100$  m i wynosi  $67,409 \mu\text{g}/\text{m}^3$ . Najwyższa wartość stężeń średniorocznych występuje w punkcie o współrzędnych  $X = 1600$   $Y = 1020$  m, wynosi  $0,8102 \mu\text{g}/\text{m}^3$  i przekracza wartość dyspozycyjną ( $D_a\text{-R}$ ) =  $0 \mu\text{g}/\text{m}^3$ .

### Zestawienie maksymalnych wartości stężeń na granicy zakładu

Najwyższa wartość stężeń jednogodzinnych pyłu zawieszonego PM 2,5 występuje w punkcie o współrzędnych  $X = 1339,2$   $Y = 1098,6$  m i wynosi  $67,923 \mu\text{g}/\text{m}^3$ . Najwyższa wartość stężeń średniorocznych występuje w punkcie o współrzędnych  $X = 1587,9$   $Y = 1032,7$  m, wynosi  $0,8149 \mu\text{g}/\text{m}^3$  i przekracza wartość dyspozycyjną ( $D_a\text{-R}$ ) =  $0 \mu\text{g}/\text{m}^3$ .

Analiza wykazała konieczność obliczania opadu pyłu. Wyniki nie wykazały przekroczeń.

Kryterium obliczania opadu pyłu

Analizowano emisję pyłu z 327 emitatorów.

$$0,0667/n \cdot \Sigma h^{3,15} = 39,9$$

Suma emisji średniorocznej pyłu =  $572,6 > 39,9$  [mg/s]

Łączna emisja roczna =  $18,057 < 10\,000$  [Mg]

**Należy obliczyć opad pyłu.**

**Tabela 3. Wyniki opady pyłu.**

Opad	X m	Y m	Opad	Opad+tło	Ocena
pyłu g/m <sup>2</sup> /rok	1600	1020	24,566	44,566	< 200

Najwyższa wartość stężeń średniorocznych dla substancji pyłu PM10 nie przekracza wartości dyspozycyjnej. Wykazane częstości przekroczeń dla stężeń jednogodzinnych nie przekraczają dopuszczalnej. W związku z powyższymi wartościami dyspozycyjnymi pyłu PM10 uznaje się za dotrzymane. Analiza wykazała jednak przekroczenia wartości stężeń średniorocznych dla pyłu PM2,5. Wysoki wynik ww. substancji jest jednak związany z obecną sytuacją powietrza w pobliżu miejscowości Strzelce (tło równe wartości dopuszczalnej w przypadku PM2,5). W sytuacji, w której tło zanieczyszczeń pyłu PM2,5 jest równe wartości dopuszczalnej, każda nawet minimalna emisja pyłu spowoduje wykazanie przekroczeń. Planowana inwestycja nie będzie znaczącym emitorem pyłu, o czym świadczy rozkład izolinii stężeń jednogodzinnych tych zanieczyszczeń, który stanowi część załącznika dotyczącego przeprowadzonego modelowania substancji w powietrzu.

Na wentylatorach planowanej fermy nie ma możliwości zainstalowania układów filtracji ograniczających pylenie. Jednak w ramach funkcjonowania planowanej instalacji stosowany będzie szereg rozwiązań, które znacząco wpłyną na minimalizację pylenia:

- I. Budynki zostaną wyposażone w system schładzania wysokociśnieniowego. System chłodzenia wysokociśnieniowego polega na chłodzeniu powietrza za pomocą systemu zraszaczy. Zastosowanie tego systemu ogranicza emisję pyłów ze ściółki. System będzie uruchamiany w okresach suchych, przy występowaniu wysokich temperatur, podczas, których emisja pylenia byłaby najwyższa.
- II. W przypadku przedmiotowej instalacji wloty do kanałów wentylacji dachowej zaprojektowano na wysokości która zapewnia brak turbulencji wzbudzających pył z ściółki lub posadzki.
- III. W kurnikach materiałem na ściółkę używanych może być wiele materiałów w tym torf i trociny, które charakteryzują się niższym pyleniem od siewki.
- IV. W budynkach inwentarskich będzie podawana pasza ad libitum.

V. Jako technikę zmniejszania pylenia z kurnika inwestor stosuje utrzymywanie odpowiedniego mikroklimatu wewnątrz kurnika (w budynkach inwentarskich zainstalowano automatyczny system sterowania oparty na zintegrowanym współdziałaniu czujników: CO<sub>2</sub>, amoniaku, wilgotności, temperatury i podciśnienia, co powoduje optymalną wymianę powietrza w kurnikach), w tym odpowiedniej wilgotności powietrza w okresie upałów (w budynkach inwentarskich stosuje się system schładzania wysokociśnieniowego). Chłodzenie wysokociśnieniowe polega na chłodzeniu powietrza za pomocą systemu zraszaczy obniżając temperaturę powietrza wewnątrz kurnika, jak również ograniczając emisję pyłów ze ściółki.

3. W raporcie, a następnie w uzupełnieniu przyjęto, że mycie 12 kurników prowadzone będzie przez około 144 h po zakończeniu cyklu chowu, tj. łącznie przez 84 dni w roku (mycie 1 kurnika po zakończeniu cyklu chowu będzie prowadzone przez 12 godzin i zostanie przeprowadzone w ciągu 1 dnia). Jeden kurnik po jednym cyklu będzie myty w ciągu jednego dnia, co dla 12 kurników daje 12 dni, jeżeli tę wartość pomnożymy przez 7 cykli w roku uzyskujemy 84 dni. W wezwaniu RDOŚ w Kielcach zsumował czas mycia 12 godzin nie uwzględniając, że jest to jedynie część dnia (połowa doby) w której będą myte kurniki (stąd różnica w obliczeniach autorów i RDOŚ) w pozostałej części dnia kurnik nie będzie myty, stąd w celu wyliczenia dni nie można zsumować godzin z myciem a następnie podzielić przez 24 h tak by uzyskać ilość dób. Biorąc pod uwagę powyższe obliczenia przedstawione w uzupełnieniu nr 1 są poprawne.

4. Na obecnym etapie nie istnieje możliwość oszacowania ilości i jakości zanieczyszczeń z uzdatniania wody. W przypadku wód opadowych zanieczyszczenia nie przekroczą poziomów określonych w rozporządzeniu Ministra Gospodarki Morskiej i Żeglugi Śródlądowej z dnia 12 lipca 2019 r. w sprawie substancji szczególnie szkodliwych dla środowiska wodnego oraz warunków, jakie należy spełnić przy wprowadzaniu do wód lub do ziemi ścieków, a także przy odprowadzaniu wód opadowych lub roztopowych do wód lub do urządzeń wodnych (Dz. U. z 2019, poz. 1311) – wody nie będą zawierały zawiesiny ogólnej w ilościach większych niż 100 mg/l, a węglowodorów ropopochodnych w ilościach większych niż 15 mg/l.

5. W związku z zapytaniem przeprowadzono ponowną analizę zakresu inwestycji w kontekście zakazów wymienionych w § 4 ust. 1 pkt 2 – „*likwidowania i niszczenia*

*zadrzewień śródpolnych, przydrożnych i nadwodnych, jeżeli nie wynikają one z potrzeby ochrony przeciwpowodziowej i zapewnienia bezpieczeństwa ruchu drogowego lub wodnego lub budowy, odbudowy, utrzymania, remontów lub naprawy urządzeń wodnych” i pkt 3 – „dokonywania zmian stosunków wodnych, jeżeli służą innym celom niż ochrona przyrody lub zrównoważone wykorzystanie użytków rolnych i leśnych oraz racjonalna gospodarka wodna lub rybacka”* uchwały nr XXXV/621/13 Sejmiku Województwa Świętokrzyskiego z dnia 23 września 2013 r. dotyczącej wyznaczenia Solecko-Pacanowskiego Obszaru Chronionego Krajobrazu. Na działce, na której realizowana będzie inwestycja, określono położenie dwóch zbiorników wodnych, o bardzo niewielkich rozmiarach, pochodzenia antropogenicznego, powstałych w wyniku eksploatacji i wydobywania piasku. Powstałe w wyniku tego zagłębienia terenu okresowo wypełniają się wodą. Jeden z nich jest zarośnięty przez krzew gatunku róża dzika (*Rosa canina L.*). Drugi natomiast zlokalizowany jest w obrębie niewielkich zadrzewień. Lokalizację zbiorników przedstawiono na rysunku w załączniku nr 1. Po zestawieniu z planem zagospodarowania terenu wyraźnie widać, że te niewielkie zbiorniki oraz drzewa i krzewy rosnące w ich obrębie, nie kolidują z planowaną infrastrukturą i nie będą one w związku z tym usuwane.

Przedmiotowa inwestycja nie spowoduje zmian stosunków wodnych. Ilość wód opadowych odprowadzana do rowu melioracyjnego zostanie w znaczny sposób ograniczona poprzez zużywanie tych wód do podlewania terenów biologicznie czynnych oraz mycia kurników. Ilość wód, które trafią do rowu nie przekroczy ilości wód które trafiają do rowu obecnie. Biorąc pod uwagę powyższe stosunki wodne nie zostaną zmienione, a tym samym nie będzie łamany zakaz dokonywania zmian stosunków wodnych określony w § 4 ust. 1 pkt 3 uchwały nr XXXV/621/13 Sejmiku Województwa Świętokrzyskiego z dnia 23 września 2013 r. dotyczącej wyznaczenia Solecko-Pacanowskiego Obszaru Chronionego Krajobrazu.